

динамическому упорядочению — образованию пространственно-временных структур примеси и дефектов. В каждой конкретной ситуации необходимо определить значение или диапазон значений доступных управлению величин, при которых в полной мере проявляются нелинейные свойства системы, приводящие к нужному характеру эволюции — периодическому, слоистому распределению, переходу к новой фазе и т.п.

Авторы благодарят В.Н. Мордковича за интерес к работе и ценные замечания.

Л и т е р а т у р а

- [1] Хакен Г. Синергетика: иерархия неустойчивостей в самоорганизующихся системах и устройствах, М.: Мир, 1985, 419 с.
- [2] Куликаускас В.С., Мордкович В.Н., Разгуляев И.И. В сб.: Имплантация в полупроводники и другие материалы, Вильнюс, 1983, с. 170–171.
- [3] Мажирин А.П., Герасименко Н.Н. Использование С- V метода для обнаружения аморфных включений в кремний. Препринт ИФП СО АН СССР № 1–84, Новосибирск, 1984. 19 с.
- [4] Вернер И.В., Цуканов В.В. — ЖТФ, 1985, т.55, № 11, с. 2236–2238.
- [5] Вавилов В.С., Кив А.Е., Ниязова О.Р. Механизмы образования и миграции дефектов в полупроводниках. М.: Наука, 1981. 368 с.
- [6] Goldbeter A., Nicolis G. — Biophysik, 1972, v. 8, p. 212–219.
- [7] Физические процессы в облученных полупроводниках. / Под ред. Л.С. Смирнова. Новосибирск: Наука, 1977. 256 с.

Московский институт
электронной техники

Поступило в Редакцию
22 февраля 1988 г.

Письма в ЖТФ, том 14, вып. 10

26 мая 1988 г.

ОТРИЦАТЕЛЬНЫЕ ИОНЫ ЛАЗЕРНОЙ ПЛАЗМЫ

Ю.А. Быковский, В.И. Романюк,
С.М. Сильнов

Интерес к изучению процессов, происходящих при нагреве и формировании лазерной плазмы, а также использованию продуктов ее разлета в ускорительной технике стимулировал разработку методик и проведение исследований характеристик потоков отрицательных

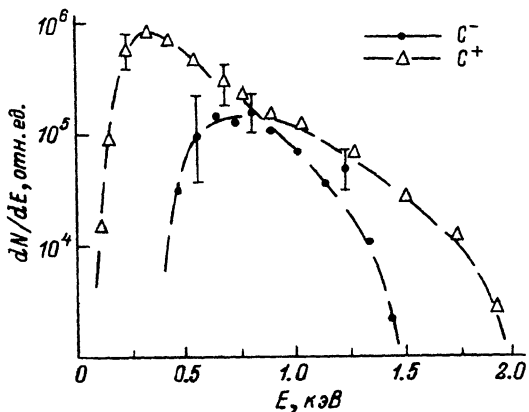


Рис. 1. Энергетические распределения положительно и отрицательно заряженных ионов $^{12}_{\text{C}}$.

ионов [1]. Образование отрицательно заряженных ионов может быть обусловлено следующими процессами в плазме: диссоциативным и фотоприлипанием, перезарядкой, в результате поверхностной ионизации и прилипанием электронов в тройных столкновениях.

В настоящей работе для исследования энергетических и угловых распределений отрицательных ионов была применена время-пролетная масс-спектрометрическая методика с использованием магнитного или электростатического анализаторов. Максимальная плотность потока лазерного излучения на поверхности образцов достигала 10^{10} Вт/см 2 при $\lambda = 1.06$ мкм и неизменной острой фокусировке $d = 200$ мкм. В качестве мишней были использованы как однокомпонентные $^{12}_{\text{C}}$, $^{27}_{\text{Al}}$, $^{28}_{\text{Si}}$, $^{29}_{\text{Cu}}$, так и бинарные соединения LiF , CaF_2 , SiO_2 .

На рис. 1 представлены характерные энергетические распределения положительно и отрицательно заряженных ионов углерода, снятые в одном эксперименте с переключением направления поля магнитного масс-анализатора и ускоряющего электрического поля на входе детектора ВЭУ-6.

Отличительной особенностью энергетических распределений A^- лазерной плазмы является то, что они находятся „внутри“ распределений положительных ионов. Причем, если для распределения A^- характерна резкая левая граница и более плавная правая, образованная за счет вклада процессов рекомбинации ионов большей зарядности, то в распределении A^+ наблюдается более симметричная картина, связанная отсутствием рекомбинации $\text{A}^{-\bullet}$ большей зарядности. Меньшая величина высокоэнергетической границы спектра A^- (по сравнению с A^+), возможно, связана с тем, что переход $\text{A}^+ \rightarrow \text{A}^{\circ} \rightarrow \text{A}^-$ происходит без участия наиболее ускоренных положительных ионов.

Рис. 2. Распределение по энергиям отрицательных ионов кремния с увеличением $I_{\text{лаз}}$.

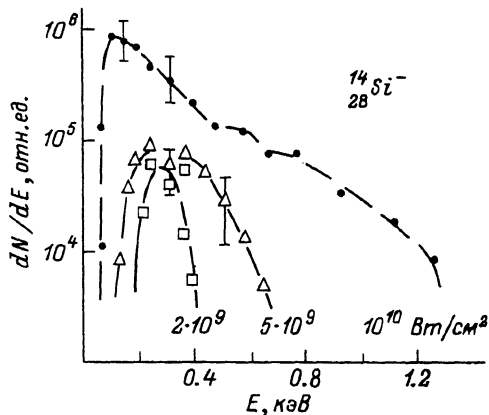
Учитывая информацию об энергетических распределениях атомов A^0 , которые также сдвинуты в сторону меньших энергий по сравнению со спектром A^+ , есть все основания считать, что наблюдаемые в эксперименте высокие энергии A^- есть следствие каскадных переходов „положительные ионы-нейтралы-отрицательные ионы“ (или „рекомбинация + прилипание“).

Об этом же свидетельствует и характер изменения спектров A^- в зависимости от плотности потока (рис. 2). С увеличением φ от $2 \cdot 10^9$ до 10^{10} Вт/см² происходит последовательное расширение спектра в область более высоких энергий. С другой стороны, в распределениях отрицательных ионов галогенов (например, $19F$) появляется „двугорбая“ структура с большим максимумом интенсивности при $E = 50-75$ эВ и меньшим максимумом при $E = 300-500$ эВ. Этот результат естественно вписывается в рассматриваемую схему перекачки кинетической энергии от положительных ионов к отрицательным через нейтралы, если учесть эффект уменьшения времени рекомбинации из-за увеличения средней скорости разлета [2] – в случае $LiF M_{cp}$ ($M = 2$) 3.

Получена зависимость интегрального количества отрицательных ионов $N^- = \int_0^{E_{\max}} dE \frac{dN}{dE}$ от плотности потока лазерного излучения (рис. 3) в телесный угол $\Delta\Omega = 5 \cdot 10^{-7}$ стер для $^{28}_{14}Si^-$ (кривая 1), в $\Omega = 2\pi$ рад для $^{12}_6C^-$ (кривая 2). Таким образом, полученная зависимость хорошо аппроксимируется линейной функцией, что можно объяснить ростом высокоЗнергетической части A^+ (рекомбинация от больших χ). Аналогично поведение зависимости и для других элементов (Al, F, Br).

С целью изучения пространственных характеристик разлета отрицательных ионов лазерной плаэмы были отсняты угловые распределения по энергиям ионов ряда элементов (F, Br, Al, Si, C), а параллельно с ними и A^+ . Полученные закономерности угловых распределений $N^- = N^-(\theta)$ являются общими для всех материалов, а распределение для $^{12}_6C^-$ представлено на рис. 3.

Отметим наиболее существенные особенности распределения A^- по углам и энергиям.



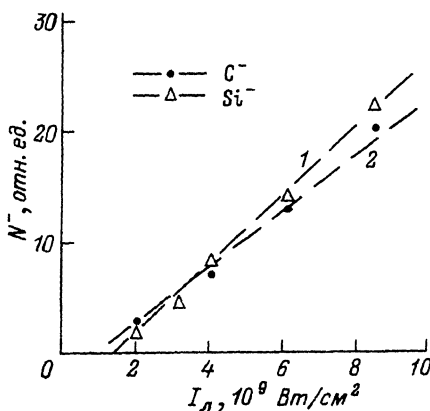


Рис. 3. Интегральный выход отрицательных ионов N^- , атт. e^- в зависимости от интенсивности $I_{лаз}$.

$^{12}_{\text{C}}$ и $^{28}_{\text{Si}}$

1. Чем больше энергия сродства электрона к атому данного элемента, тем ниже граничная плотность потока мощности лазерного излучения q_0 , при которой начинают регистрироваться спектры A^- лазерной плазмы – от $q_0' = 3 \cdot 10^8 \text{ Вт}/\text{см}^2$ для $^{19}_{\text{F}}(E_A = 3.40 \text{ эВ})$ до $q_0'' = 4 \cdot 10^9 \text{ Вт}/\text{см}^2$ для $^{27}_{\text{Al}}(E_A = 0.33 \text{ эВ})$.

2. При пороговых плотностях угловые распределения A^- носят ярко выраженный анизотропный характер – в узкий телесный угол ($\theta = 2-30^\circ$) относительно нормали к поверхности мишени.

3. С увеличением плотности потока угол раствора начинает последовательно расширяться до $\theta = 45^\circ$ при $q = 10^{10} \text{ Вт}/\text{см}^2$. При этом угловые распределения A^+ данного элемента практически изотропны по пространству.

4. Анализ динамики формирования угловых распределений A^- показывает, что область высоких энергий A^- лежит в узком телесном угле относительно нормали к мишени. Расширение же угла раствора распределения $N^- = N(\theta)$ до $\theta = 90^\circ$ связано с увеличением заполнения более низкоэнергетических состояний. Необходимо также отметить тот факт, что аналогичное поведение характерно и для динамики угловых энергетических распределений многозарядных ($z > 1$) A^{+z} данных элементов. Это может свидетельствовать о корреляции процессов рекомбинации многозарядных ионов и прилипания электронов к атомам при разлете лазерно-плазменного факела.

В работе было проведено исследование статистически достоверного присутствия A^- лазерной плазмы целого ряда элементов периодической системы.

Анализ полученных данных заставляет искать объяснение такого своеобразного процесса „заморозки“ отрицательно заряженного состояния ионов, в определенной степени аналогичного „заморозке“ состояний A^{+z} [3].

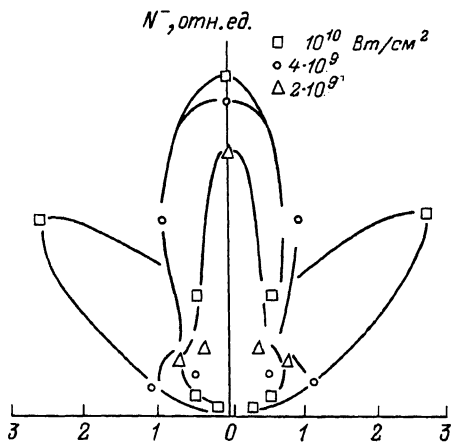


Рис. 4. Угловое распределение ионов $^{12}_{\text{C}}\text{--}$.

Одним из возможных каналов представляется процесс $e^+e^-A^0 \rightarrow A^- + e$ со взаимной нейтрализацией $A^- + A^{\pm} \rightarrow A^0 + A^0$. При этом из-за быстрого падения плотности электронов $\kappa \sim 1/R^2 - 1/R^3$ рекомбинация A^+ через образование пары отрицательный-положительный ион может идти не полностью. Известно, что такой процесс рекомбинации становится существенным, когда энергия сродства электронов к атому превышает среднюю энергию их теплового движения, для лазерной плазмы — на стадии завершения ускорительных процессов.

Л и т е р а т у р а

- [1] Быковский Ю.А., Неволин В.Н. — Физика плазмы, 1978, в. 4, с. 323.
- [2] Быковский Ю.А. и др. — ЖЭТФ, 1971, т. 60, в. 4.
- [3] Смирнов Б.М. Ионы и возбужденные атомы в плазме. М., 1974.

Московский инженерно-физический институт

Поступило в Редакцию
19 ноября 1987 г.

В окончательной редакции
11 апреля 1988 г.